



INSTITUTO
SUPERIOR
TÉCNICO

Computação Gráfica

Licenciatura em Engenharia Informática e de Computadores
Alameda / Taguspark

Exame de Recurso
29 de Junho de 2011

O exame tem a duração de **2h30**, tolerância incluída. Responda às questões no espaço reservado para o efeito, **justificando** adequadamente as respostas. O verso das páginas pode ser utilizado como folha de rascunho ou para responder a questões dessa página, quando necessário. Durante o exame apenas é permitido o uso de caneta. Não é permitido o uso de calculadoras, telemóveis ou folhas em branco para rascunho. Uma resposta errada nas perguntas de escolha múltipla desconta 1/2 da cotação da respectiva questão. Identifique **todas** as folhas do exame.

Algoritmo de Cyrus-Beck: tabela de cálculo para polígonos rectangulares

E_i	N_i	P_{Ei}	$P_0 - P_{Ei}$	t
$x_i = x_{min}$	$[-1 \ 0]^T$	(x_{min}, y)	$(x_0 - x_{min}, y_0 - y)$	$-(x_0 - x_{min}) / (x_1 - x_0)$
$x_i = x_{max}$	$[1 \ 0]^T$	(x_{max}, y)	$(x_0 - x_{max}, y_0 - y)$	$-(x_0 - x_{max}) / (x_1 - x_0)$
$y_i = y_{min}$	$[0 \ -1]^T$	(x, y_{min})	$(x_0 - x, y_0 - y_{min})$	$-(y_0 - y_{min}) / (y_1 - y_0)$
$y_i = y_{max}$	$[0 \ 1]^T$	(x, y_{max})	$(x_0 - x, y_0 - y_{min})$	$-(y_0 - y_{max}) / (y_1 - y_0)$

Identificação do Aluno

Número:

Nome:

1. **[1.0v]** Considere o triângulo $T=\{V_1, V_2, V_3\}$, com $V_1=[0 \ 2 \ 3]$, $V_2=[3 \ 3 \ 3]$ e $V_3=[4 \ 2 \ 3]$. Seguindo a regra da mão esquerda, indique o valor da normal ao triângulo T , n_T .

Sendo $a=[V_1 \ V_2]$ e $b=[V_2 \ V_3]$, temos que:

$$a \times b = \begin{bmatrix} y_a z_b - z_a y_b \\ z_a x_b - x_a z_b \\ x_a y_b - y_a x_b \end{bmatrix} = \begin{bmatrix} (3-2)(3-3) - (3-3)(2-3) \\ (3-3)(4-3) - (3-0)(3-3) \\ (3-0)(2-3) - (3-0)(4-3) \end{bmatrix}$$

$$n_T = \|a \times b\| = \begin{bmatrix} 0 \\ 0 \\ -1 \end{bmatrix}$$

2. **[0.5v]** Tirou uma fotografia aos seus amigos com uma máquina fotográfica digital. Acha que o formato de imagem GIF é mais indicado para armazenar essa imagem num ficheiro que pretende enviar aos seus amigos via internet? Justifique a sua resposta.

O formato GIF não é o mais indicado para este efeito. A razão para tal prende-se com o limite do número de cores suportadas ser baixo e com o facto de o algoritmo de compressão usado neste formato não ser indicado para imagens de qualidade fotográfica.

3. [1.5v] Considere os seguintes comandos OpenGL:

```
gluOrtho2D(0, 2, 0, 3);
glViewport(50, 50, 400, 300);
```

a) [1.0v] Determine a matriz de mapeamento em coordenadas de viewport.

$$M = T_2 \cdot S \cdot T_1$$

Onde:

T_1 é translação do canto inferior esquerdo da janela de visualização para a origem;

$$T_1 = \begin{bmatrix} 1 & 0 & 0 & -x_{\min} \\ 0 & 1 & 0 & -y_{\min} \\ 0 & 0 & 1 & 0 \\ 0 & 0 & 0 & 1 \end{bmatrix} = \begin{bmatrix} 1 & 0 & 0 & 0 \\ 0 & 1 & 0 & 0 \\ 0 & 0 & 1 & 0 \\ 0 & 0 & 0 & 1 \end{bmatrix}$$

T_2 é translação da origem para o canto inferior esquerdo do viewport;

$$T_2 = \begin{bmatrix} 1 & 0 & 0 & x_v \\ 0 & 1 & 0 & y_v \\ 0 & 0 & 1 & 0 \\ 0 & 0 & 0 & 1 \end{bmatrix} = \begin{bmatrix} 1 & 0 & 0 & 50 \\ 0 & 1 & 0 & 50 \\ 0 & 0 & 1 & 0 \\ 0 & 0 & 0 & 1 \end{bmatrix}$$

S é a escala que transforma a largura e altura da janela de visualização na largura e altura do viewport.

$$S = \begin{bmatrix} \frac{w_v}{w} & 0 & 0 & 0 \\ 0 & \frac{h_v}{h} & 0 & 0 \\ 0 & 0 & 1 & 0 \\ 0 & 0 & 0 & 1 \end{bmatrix} = \begin{bmatrix} \frac{400}{2} & 0 & 0 & 0 \\ 0 & \frac{300}{3} & 0 & 0 \\ 0 & 0 & 1 & 0 \\ 0 & 0 & 0 & 1 \end{bmatrix} = \begin{bmatrix} 200 & 0 & 0 & 0 \\ 0 & 100 & 0 & 0 \\ 0 & 0 & 1 & 0 \\ 0 & 0 & 0 & 1 \end{bmatrix}$$

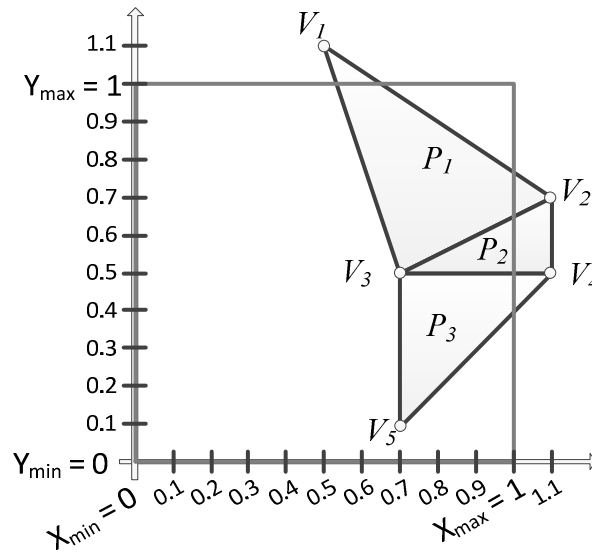
Logo:

$$M = \begin{bmatrix} 1 & 0 & 0 & 50 \\ 0 & 1 & 0 & 50 \\ 0 & 0 & 1 & 0 \\ 0 & 0 & 0 & 1 \end{bmatrix} \cdot \begin{bmatrix} 200 & 0 & 0 & 0 \\ 0 & 100 & 0 & 0 \\ 0 & 0 & 1 & 0 \\ 0 & 0 & 0 & 1 \end{bmatrix} \cdot \begin{bmatrix} 1 & 0 & 0 & 0 \\ 0 & 1 & 0 & 0 \\ 0 & 0 & 1 & 0 \\ 0 & 0 & 0 & 1 \end{bmatrix} = \begin{bmatrix} 200 & 0 & 0 & 50 \\ 0 & 100 & 0 & 50 \\ 0 & 0 & 1 & 0 \\ 0 & 0 & 0 & 1 \end{bmatrix}$$

b) [0.5v] Este conjunto de comandos realiza uma operação de stretching. Explique, quantificando, em que esta operação consiste.

Considerando que a relação de aspecto da janela de visualização é 2:3 e a do viewport é de 4:3. Assim sendo, a operação de stretching em causa consiste no alongamento vertical da vista, ficando os objectos com o dobro da largura que deveriam ter em relação à altura.

4. **[3.0v]** Considere o rectângulo de recorte e os polígonos $P_1=\{V_1, V_2, V_3\}$, $P_2=\{V_2, V_4, V_3\}$ e $P_3=\{V_3, V_4, V_5\}$ ilustrados na figura abaixo. Assuma que vai aplicar os algoritmos de recorte leccionados nas aulas teóricas.



- a) **[0.5v]** Seguindo a metodologia usada no algoritmo de *Cohen-Sutherland*, indique os *outcodes* de cada um dos vértices. Explícite a convenção usada na determinação dos bits.

$$OC(V_1) = 1\ 0\ 0\ 0$$

$$OC(V_2) = 0\ 0\ 1\ 0$$

$$OC(V_3) = 0\ 0\ 0\ 0$$

$$OC(V_4) = 0\ 0\ 1\ 0$$

$$OC(V_5) = 0\ 0\ 0\ 0$$

$$\text{bit 1} \rightarrow Y > Y_{\max}$$

$$\text{bit 2} \rightarrow Y < Y_{\min}$$

$$\text{bit 3} \rightarrow X > X_{\max}$$

$$\text{bit 4} \rightarrow X < X_{\min}$$

- b) **[0.5v]** Identifique que segmentos são trivialmente aceites, trivialmente rejeitados ou subdivididos, através da aplicação do algoritmo de *Cohen-Sutherland*.

Trivialmente aceite:

$$[V_3\ V_5], \text{ pois } OC(V_3) = OC(V_5) = 0\ 0\ 0\ 0\ 0\ 0$$

Trivialmente rejeitado:

$$[V_2\ V_4], \text{ pois } OC(V_2) \ \& \ OC(V_4) \neq 1$$

Subdivididos:

$$[V_2\ V_3], [V_4\ V_3], [V_4\ V_5], [V_1\ V_2] \text{ e } [V_3\ V_1],$$

$$\text{pois } OC(V_2) \ \& \ OC(V_3) = 0, \ OC(V_4) \ \& \ OC(V_3) = 0, \ OC(V_4) \ \& \ OC(V_5) = 0,$$

$$OC(V_1) \ \& \ OC(V_2) = 0, \ OC(V_3) \ \& \ OC(V_1) = 0$$

- c) **[1.5v]** Usando os algoritmos de Liang-Barsky e Cyrus-Beck, determine os valores de T_e e T_l para a aresta $[V_1 V_2]$.

Determinação dos valores de T para a aresta $[V_1 V_2]$:

$$T_{\text{left}} = - (0.5 - 0.0)/(1.1 - 0.5) = - (0.5/0.6) = -5/6$$

$$T_{\text{right}} = - (0.5 - 1.0)/(1.1 - 0.5) = (0.5/0.6) = 5/6$$

$$T_{\text{bottom}} = - (1.1 - 0.0)/(0.7 - 1.1) = (1.1/0.4) = 11/4$$

$$T_{\text{top}} = - (1.1 - 1.0)/(0.7 - 1.1) = (0.1/0.6) = 1/4$$

Ignoram-se T_{left} e T_{bottom} porque $T_{\text{left}} < 0$ e $T_{\text{bottom}} > 1$

Determinação de P_E e P_L :

$$N_{\text{right}} \cdot [V_2 - V_1] > 0, \text{ porque ângulo entre } N_{\text{top}} \text{ e vector de } V_1 \text{ a } V_2 \text{ é menor que } 90^\circ$$

$$N_{\text{top}} \cdot [V_2 - V_1] < 0, \text{ porque ângulo entre } N_{\text{top}} \text{ e vector de } V_1 \text{ a } V_2 \text{ é maior que } 90^\circ$$

$$N_{\text{right}} \cdot [V_2 - V_1] > 0 \Rightarrow T_{\text{right}} \text{ é } P_L$$

$$N_{\text{top}} \cdot [V_2 - V_1] > 0 \Rightarrow T_{\text{top}} \text{ é } P_E$$

Logo:

$$T_e = 1/4$$

$$T_l = 5/6$$

- d) **[0.5v]** Descreva o recorte do polígono P_2 através da aplicação do algoritmo de Sutherland-Hodgman. Faça-o indicando as listas de vértices inicial, à entrada e saída de cada um dos passos e final. Em cada passo indique qual a aresta de recorte.

$$\{V_2, V_3, V_4\} \rightarrow \text{Left Clip (recorte pela aresta } X=0) \rightarrow \{V_3, V_4, V_2\} \rightarrow$$

$$\{V_3, V_4, V_2\} \rightarrow \text{Top Clip (recorte pela aresta } Y=1) \rightarrow \{V_4, V_2, V_3\} \rightarrow$$

$$\{V_4, V_2, V_3\} \rightarrow \text{Right Clip (recorte pela aresta } X=1) \rightarrow \{V_3, I_1, I_2\} \rightarrow$$

$$\{V_3, I_1, I_2\} \rightarrow \text{Bottom Clip (recorte pela aresta } Y=0) \rightarrow \{I_1, I_2, V_3\}$$

5. [2.0v] Considere os seguintes excertos de código VRML:

```

IndexedFaceSet {
  coord Coordinate {
    point [
      1 -2 1, 1 -2 -1,
      -1 -2 -1, -1 -2 1,
      1 2 1, 1 2 -1,
      -1 2 -1, -1 2 1
    ]
  }
  coordIndex [
    0 1 2 3 -1,
    0 1 5 4 -1,
    1 2 6 5 -1,
    2 3 7 6 -1,
    3 0 4 7 -1,
    4 5 6 7
  ]
}

```

```

Extrusion {
  beginCap TRUE
  endCap TRUE
  crossSection [
    1 1,
    1 -1,
    -1 -1,
    -1 1,
    1 1
  ]
  spine [0 -2 0, 0 2 0]
}

```

a) [1.0v] Os dois excertos representam o mesmo objecto sólido 3D? Justifique.

Sim, ambos representam um paralelepípedo centrado na origem com 2 unidades de largura (eixo dos XX) e de profundidade (eixo dos ZZ) e 4 unidades de altura (eixo dos YY).

b) [1.0v] Indique, para cada um dos casos, qual a técnica de representação de malhas de polígonos utilizada.

O nó IndexedFaceSet é uma malha de polígonos representada por uma lista de vértices.

O nó Extrusion não é uma malha de polígonos. É uma extrusão ao longo de um caminho que é um tipo de representação por varrimento (sweep).

6. [1.5v] Considere uma projecção perspectiva cujo plano de visualização está a uma distância $D = 200$ da câmara. A janela de visualização tem largura $W = 800$ e altura $H = 400$.

a) [0.5v] Qual das seguintes utilizações da função `gluPerspective()` indicadas abaixo está correcta?

Nota: assinatura da função `gluPerspective`:

```
void gluPerspective(GLdouble fovy, GLdouble aspect,  
GLdouble near, GLdouble far)
```

A: `gluPerspective(90.0f, 2.0f, 400.0f, 800.0f)`

B: `gluPerspective(90.0f, 0.5f, 200.0f, 400.0f)`

C: `gluPerspective(45.0f, 2.0f, 50.0f, 800.0f)`

D: `gluPerspective(90.0f, 2.0f, 200.0f, 400.0f)`

E: `gluPerspective(90.0f, 1.5f, 50.0f, 100.0f)`

F: Nenhuma das anteriores

A opção correcta é a D.

b) [1.0v] Justifique a sua escolha.

A relação de aspecto (`aspect`) é $W/H = 800/400 = 2$, o que invalida as opções B e E.

O plano de visualização deve estar entre o plano de recorte anterior (`near`) e o plano de recorte posterior (`far`), ou seja $near \leq D \leq far$. Isso invalida a opção A.

O ângulo de abertura vertical é dado por $\text{tg}(\Theta/2) = (H/2)/D \Leftrightarrow \text{tg}(\Theta/2) = 200/200 \Leftrightarrow \Theta/2 = \text{tg}^{-1}(1) \Leftrightarrow \Theta/2 = 45^\circ \Leftrightarrow \Theta = 90^\circ$. Isso invalida a opção C.

A opção D é válida..

7. **[1.0v]** Considere o seguinte código OpenGL que desenha um cubo e uma esfera vermelhas:

```
void draw() {
    glColor3f(1.0, 0.0, 0.0);
    glTranslatef(0.0, 1.0, 0.0);
    glPushMatrix();
    glTranslatef(5.0, 0.0, 0.0);
    glRotatef(45.0, 0.0, 1.0, 0.0);
    glutSolidCube(2.0);
    glPopMatrix();
    glutSolidSphere(2.0, 20, 20);
}
```

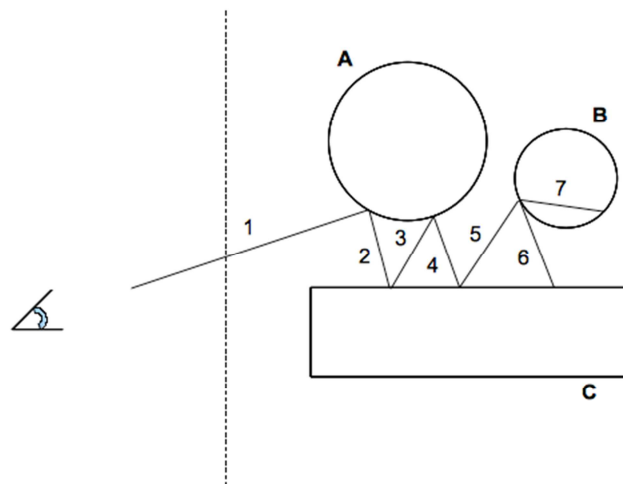
- a) **[0.5v]** Qual é o produto de matrizes (no espaço homogéneo) que corresponde à transformação que é aplicada ao cubo?

$$T = \begin{bmatrix} 1 & 0 & 0 & 0 \\ 0 & 1 & 0 & 1 \\ 0 & 0 & 1 & 0 \\ 0 & 0 & 0 & 1 \end{bmatrix} \begin{bmatrix} 1 & 0 & 0 & 5 \\ 0 & 1 & 0 & 0 \\ 0 & 0 & 1 & 0 \\ 0 & 0 & 0 & 1 \end{bmatrix} \begin{bmatrix} \cos(45^\circ) & \sin(45^\circ) & \sin(45^\circ) & 0 \\ 0 & 1 & 0 & 0 \\ -\sin(45^\circ) & 0 & \cos(45^\circ) & 0 \\ 0 & 0 & 0 & 1 \end{bmatrix}$$

- b) **[0.5v]** A esfera é afectada pela transformação aplicada ao cubo? Justifique.

Não, só é afectada pela primeira translação. A segunda translação e a rotação estão dentro de um bloco PushMatrix/PopMatrix. Este bloco guarda o estado da matriz após a primeira translação e depois recupera-o imediatamente antes de desenhar a esfera que assim não é afectada pelas transformações posteriores à primeira translação.

8. [1.5v] Considere o seguinte diagrama que representa os raios traçados por um Ray Tracer para um determinado pixel.



- a) [0.5v] Classifique o tipo de todos os raios identificados por números.

1 – Raio Primário
 2, 3, 4, 5, 6 – Raios Reflectidos
 7 – Raios Refractados

- b) [0.5v] O que pode concluir sobre o limite máximo de intersecções? Justifique.

O limite máximo de intersecções é 6. Se fosse maior o algoritmo não teria sido interrompido: o objecto C teria reflectido o raio 6 e o objecto B teria reflectido e refractado o raio 7.

- c) [0.5v] Assumindo que esta cena contém duas fontes de luz, quantos raios do tipo *shadow feeler* seriam calculados na determinação da cor do pixel?

Seriam calculados 14 raios shadow feeler. Em cada intersecção de um raio com um objecto, é emitido um raio shadow feeler por cada fonte de luz. Neste caso, como são detectadas 7 intersecções, são calculados $7 \times 2 = 14$ shadow feelers.

9. **[0.5v]** Identifique e descreva os três blocos fundamentais de uma arquitectura raster.

1. Processador Gráfico – responsável pela geração de imagem
2. Memória de imagem baseada em pixels
3. Controlador de refrescamento de video: responsável por ler a memória de imagem e converter o conteúdo em sinal de video para que este seja enviado para o monitor

10. **[1.0v]** Explique detalhadamente a razão pela qual as APIs gráficas utilizam a Transformação Perspectiva.

A transformação perspectiva transforma o frustum normalizado num volume ortogonal canónico. O objectivo é simplificar a operação de visibilidade: ao fazer com que os raios projectores se tornem paralelos entre si determinação a oclusão de objectos é realizada por simples comparações das duas primeiras coordenadas.

Resulta ainda que a operação de recorte também é simplificada (um único algoritmo para ambas as situações de projecção).

11. [1.0v] Suponha que escreveu a seguinte linha de código:

```
gluLookAt(0.0, 0.0, 7.0, 0.0, 0.0, 0.0, 0.0, 1.0, 0.0);
```

Nota: assinatura da função `gluLookAt`:

```
gluLookAt(eyex, eyey, eyez,
          centerx, centery, centerz,
          upx, upy, upz)
```

a) [0.5v] Indique a matriz de translação em coordenadas homogéneas referente à Transformação de Visualização realizada internamente pelo pipeline OpenGL de modo a colocar os objectos da cena no referencial da câmara

b) [0.5v] Calcule a matriz de rotação em coordenadas homogéneas realizada internamente pelo pipeline OpenGL na Transformação de Visualização.

A transformação de visualização implica uma mudança de referencial do Mundo para o referencial da Câmara. Assim, em termos de mudança de referencial, esta transformação equivale a fazer coincidir o referencial da câmara com o referencial do Mundo. Isso implica efectuar uma translação seguida de uma rotação. A matriz de translação é definida pelo vector de translação $[-VRPx \ -VRPy \ -VRPz]$. A matriz de rotação é dada em termos de linhas, respectivamente, pelas componentes dos versores u, v e $-n$.

VRP (1º argumento) é o $(0 \ 0 \ 7)$ e o observador está olhar para $(0, 0, 0)$ (2º argumento) logo VPN $[0 \ 0 \ -7] \Rightarrow n \ [0 \ 0 \ -1]$

View-up $[0 \ 1 \ 0]$ (3º argumento) $\Rightarrow v \ [0 \ 1 \ 0]$ e portanto $u \ [+1 \ 0 \ 0]$ (referencial mão esquerda: $u = n \times v$)

Internamente efectua-se uma translação seguida de uma rotação:

$$\text{Translação} = \begin{bmatrix} 1 & 0 & 0 & 0 \\ 0 & 1 & 0 & 0 \\ 0 & 0 & 1 & -7 \\ 0 & 0 & 0 & 1 \end{bmatrix} \quad \text{Rotação} = \begin{bmatrix} +1 & 0 & 0 & 0 \\ 0 & 1 & 0 & 0 \\ 0 & 0 & +1 & 0 \\ 0 & 0 & 0 & 1 \end{bmatrix}$$

12. [1.0v] Considere uma cena muito simples constituída por uma fonte de luz e uma superfície plana. As características de iluminação e de reflexão desta cena são descritas pelas seguintes funções OpenGL:

```

GLfloat ambient[] = { 0.3, 0.0, 0.0, 1.0 };
GLfloat diffuse[] = { 1.0, 0.5, 0.5, 1.0 };
GLfloat specular[] = { 1.0, 1.0, 1.0, 1.0 };

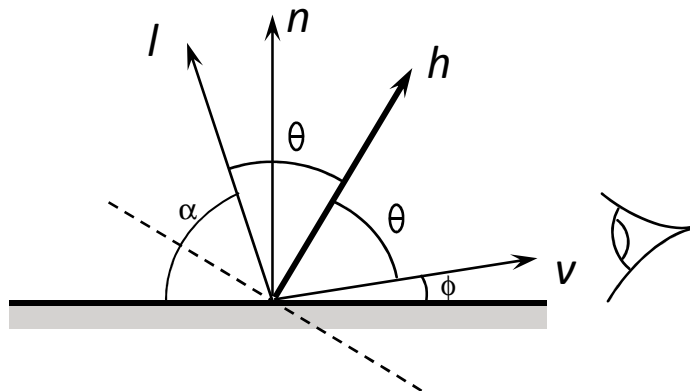
glLightfv(GL_LIGHT0, GL_AMBIENT, ambient);
glLightfv(GL_LIGHT0, GL_DIFFUSE, diffuse);
glLightfv(GL_LIGHT0, GL_SPECULAR, specular);

GLfloat mat_ambient[] = { 1.0, 1.0, 1.0, 1.0 };
GLfloat mat_diffuse[] = { 0.6, 0.1, 1.0, 1.0 };
GLfloat mat_specular[] = { 1.0, 1.0, 1.0, 1.0 };

glMaterialfv (GL_FRONT_AND_BACK, GL_AMBIENT, mat_ambient);
glMaterialfv (GL_FRONT_AND_BACK, GL_DIFFUSE, mat_diffuse);
glMaterialfv (GL_FRONT_AND_BACK, GL_SPECULAR, mat_specular);
glMaterialf (GL_FRONT, GL_SHININESS, 10.0);

```

Considere ainda que a fonte de luz está apontada à superfície segundo o ângulo α de 70° e que o observador olha para a superfície segundo um ângulo ϕ de 20° .



Calcule as componentes de cor no ponto da superfície para onde a câmara aponta segundo o modelo de reflexão de **Phong modificado**, usando a **aproximação de Blinn**.

Nota: $\cos(30^\circ)=0,866$; $\cos(45^\circ)=0,707$; $\cos(60^\circ)=0,5$

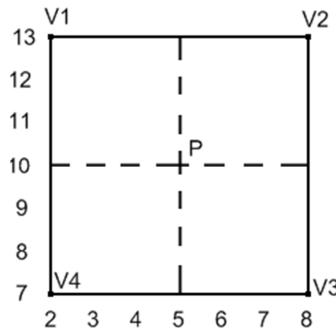
$\text{VertexColor} = \text{ambient light} * \text{ambient material} + (\max\{L \cdot N, 0\}) * \text{diffuse light} * \text{diffuse material} + (\max\{N \cdot H, 0\}) \exp \text{shininess} * \text{specular light} * \text{specular material}$

$$R: 0,3 * 1,0 + 1,0 * 0,6 * \cos 20^\circ + 1,0 * 1,0 * (\cos 25^\circ)^{10}$$

$$G: 0,0 * 1,0 + 0,5 * 0,1 * \cos 20^\circ + 1,0 * 1,0 * (\cos 25^\circ)^{10}$$

$$B: 0,0 * 1,0 + 0,5 * 1,0 * \cos 20^\circ + 1,0 * 1,0 * (\cos 25^\circ)^{10}$$

13. [0.5v]. Considere o seguinte quadrado, em coordenadas de ecrã, prestes a ser sombreado pelo método de Gouraud. Determine a cor RGB no ponto médio P do quadrado, conhecendo as seguintes cores para os vértices: $V_1=(160, 120, 128)$, $V_2=(120, 140, 128)$, $V_3=(80, 140, 128)$, $V_4=(100, 120, 128)$.



O método de sombreamento de Gouraud consiste em interpolar linearmente, componente a componente, as cores dos vértices para os pontos interiores dos polígonos. Pela figura, verifica-se que a cor do ponto P pode ser determinada calculando primeiro a cor dos pontos (2,10) e (8,10) para os quais, por se encontrarem no ponto médio dos lados V_1V_4 e V_2V_3 , bastará calcular a média das componentes de cor. Também o ponto P é o ponto médio do segmento que une aqueles pontos e, assim, basta calcular a média das cores desses pontos. Logo (notando que a componente azul é igual em todos os vértices)

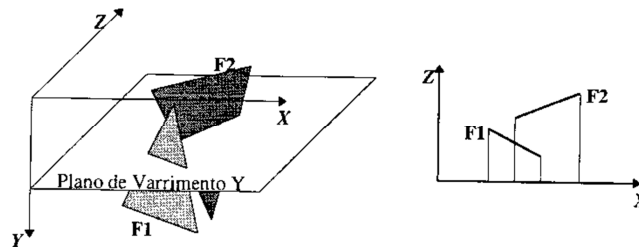
$$P = [((160+100)/2 + (120+80)/2) / 2; (120+120)/2 + (140+140)/2; 128]$$

$$P = [(130+100)/2; (120+140)/2; 128] = [115, 130, 128]$$

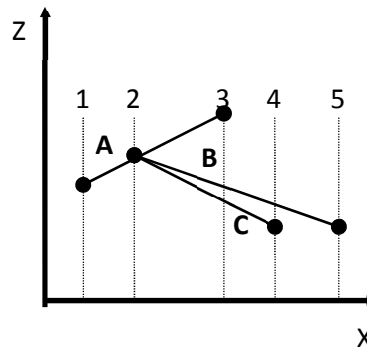
14. [1.0v] Apresente as regras que se devem aplicar para discretizar um polígono com preenchimento e a ordem da sua aplicação.

O algoritmo de linha de varrimento empregue na discretização de polígonos com preenchimento segue as seguintes regras: 1) os lados horizontais não são considerados; 2) Um lado de um polígono passa a estar activo (para a determinação de intersecções com a linha de varrimento) quando o valor da abcissa da linha de varrimento é igual ao menor valor da coordenada y desse lado; 3) Um lado de um polígono não se encontra activo quando a abcissa da linha de varrimento for igual ao maior valor de y desse segmento; 4) Quando ordenadas todas as intersecções dos lados activos de um polígono com a linha de varrimento segundo x crescente, as intersecções de ordem par correspondem a pontos de entrada no interior do polígono e a sua coordenada x deve ser arredondada para um valor inteiro por excesso, enquanto as intersecções de ordem par correspondem a pontos de saída cujas coordenadas x devem ser arredondadas por defeito para valores inteiros.

15. [1.0v] O algoritmo de RSO à Linha de Varrimento (Watkins) usa o ciclo vertical em que cada iteração, correspondente a uma linha de varrimento, implica uma disposição espacial dos polígonos no plano ZoX, como pode observar pela ilustração abaixo.



Considere que para uma determinada cena, a disposição espacial dos polígonos no plano ZoX, definido por uma determinada linha de varrimento Y_{curr} , encontra-se ilustrada na figura abaixo. Estabeleça o conteúdo da Lista de Arestas Activas e efectue, justificando detalhadamente, os ciclos do algoritmo na direcção horizontal (eixo X) e na profundidade (eixo Z), mencionando a Lista de Polígonos activos.



Pela figura conclui-se que se encontram 3 polígonos activos (A, B e C), logo devem estar activas 6 arestas (esquerda e direita para cada um deles) e o conteúdo da Lista de Arestas activas será

{ Aesq, Besq, Cesq, Adir, Cdir, Bdir }

Podemos então aplicar o algoritmo de Watkins como segue

X	Cor do pixel	Porquê	Obs.
1	A	Único polígono	Entrada em A
2	A	Z igual em todos, continua A	Entrada em B e C
3	C	C -> Menor Z	Saída de A
4	C	C -> Menor Z	Saída de C
5	B	Único polígono	Saída de B

16. [1.0v] Quais são as características fundamentais do modelo de cor RGB? Mencione o respectivo domínio no espaço RGB e compare-o com o espaço da especificação da cor de uma fonte de luz que empregue o modelo RGB em OpenGL, explicando a razão desta diferença.

O modelo RGB é um modelo aditivo que tem como cores as cores primárias vermelho (R), verde (G) e azul(B), ocupa um espaço cúbico com a cor negra na origem (0,0,0) e a cor branca no vértice oposto (1,1,1). A diferença da especificação de uma cor neste modelo para OpenGL consiste em que, ao especificar a cor de fontes de luz, os valores das componentes de cor do modelo RGB deixam de estar obrigatoriamente compreendidas no intervalo [0,1] (ou outro equivalente) e passam a poder assumir valores entre 0 e infinito, não estando limitados àquele intervalo, permitindo assim fontes de luz de diferentes intensidades (que serão posteriormente normalizadas depois de somadas as intensidades das fontes de luz).

17. [1.0v] Uma fonte de luz emite luz com cor amarela pura incide num dado ponto de uma superfície segundo um ângulo de 45° com a normal à superfície.

Nota: $\sin(45^\circ) = \cos(45^\circ) = \sqrt{2}/2$

- a) [0.5v] Se a superfície só reflectir especularmente, que características de reflexão deverá apresentar a superfície para que um observador olhando segundo um ângulo de 30° com a normal à superfície possa ver a luz reflectida?

Neste caso, ainda que o observador se encontre no plano formado pela normal e pela linha unindo a fonte de luz ao ponto de reflexão, o observador não está a ver o ponto segundo uma direcção (30°) que não é a direcção de reflexão especular perfeita (45°). Logo, para que possa observar luz reflectida nas condições enunciadas, é necessário que a reflexão especular não seja perfeita e, portanto, que exista dispersão da luz reflectida em torno da direcção de reflexão especular perfeita.

- b) [0.5v] Se a superfície for reflectora difusa sem nenhum brilho com os coeficientes de reflexão (0,5; 0,75; 0,25), calcule a intensidade da cor da luz reflectida (não existe componente ambiente).

A cor amarela pura tem [1;1;0] como componentes RGB (ou [0;0;1] no espaço CMY). Neste caso, a cor da luz reflectida será

RGB $\rightarrow (0,5*1*\sqrt{2}/2; 0,75*1*\sqrt{2}/2; 0,25*0)$